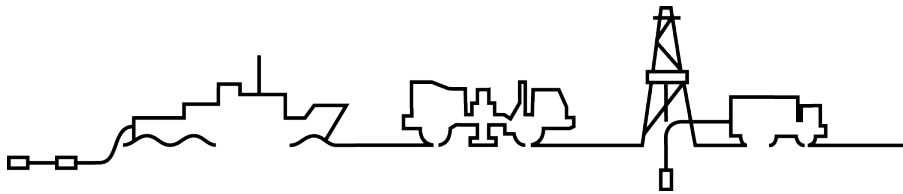




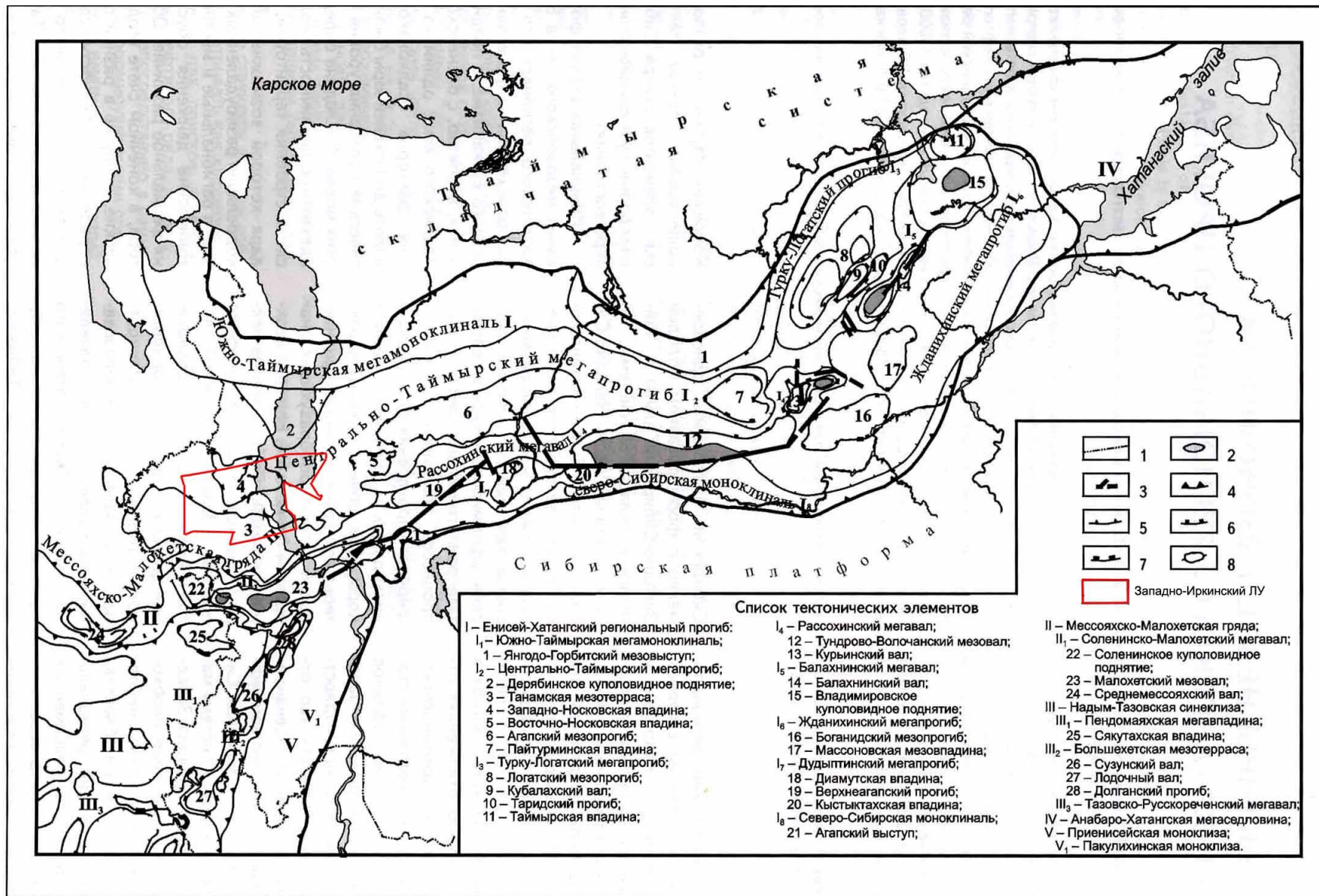
РОСГЕОЛОГИЯ

Российский государственный геологический холдинг

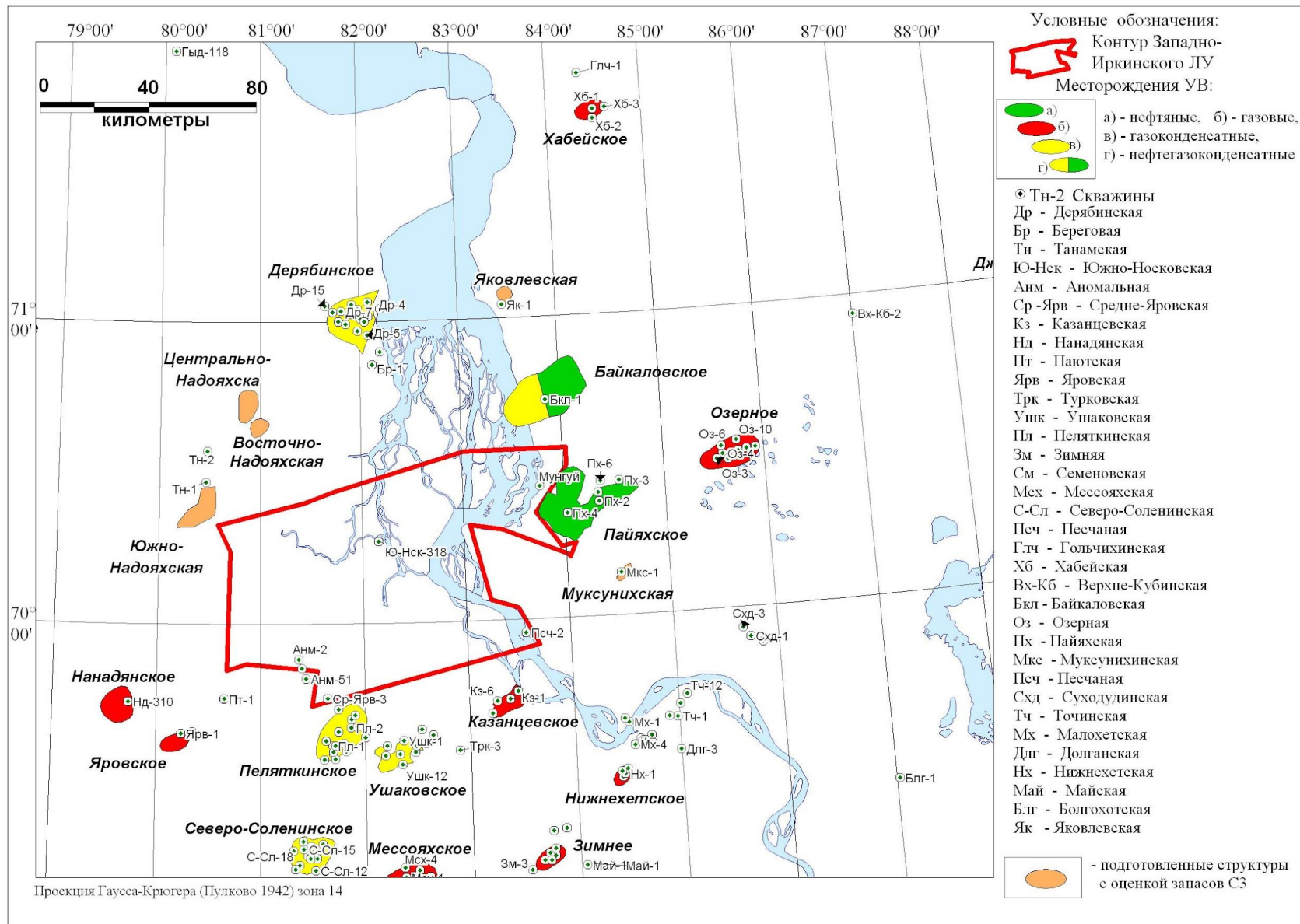
Предложение «Выполнение сейсморазведочных работ 3D в западной речной и островной части Западно-Иркинского ЛУ»



г. Геленджик, 20.01.2021

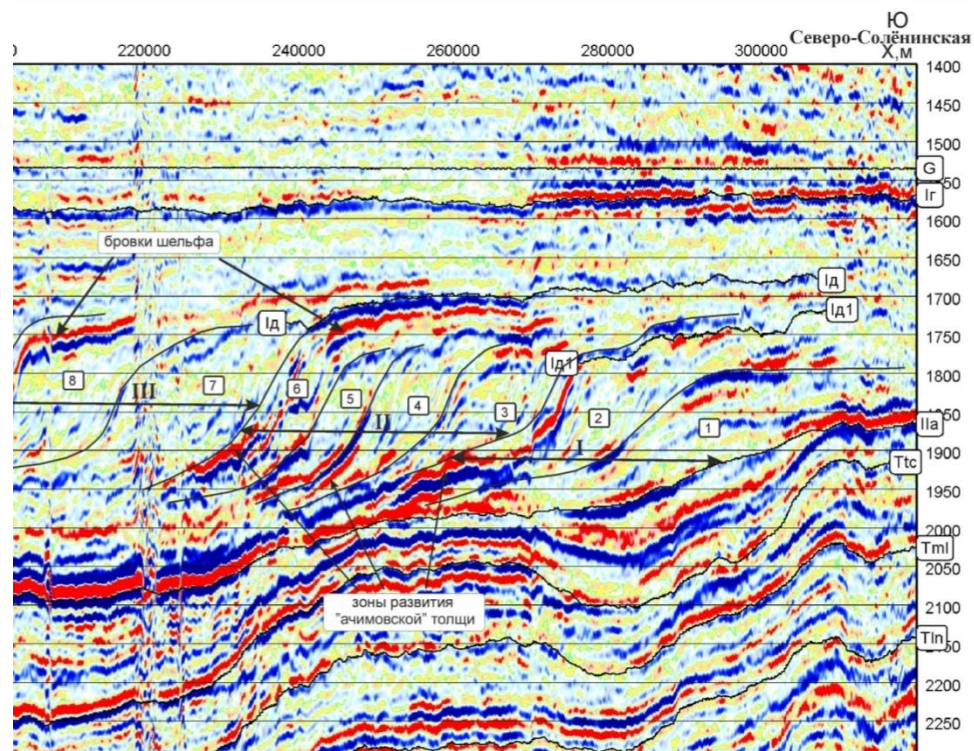
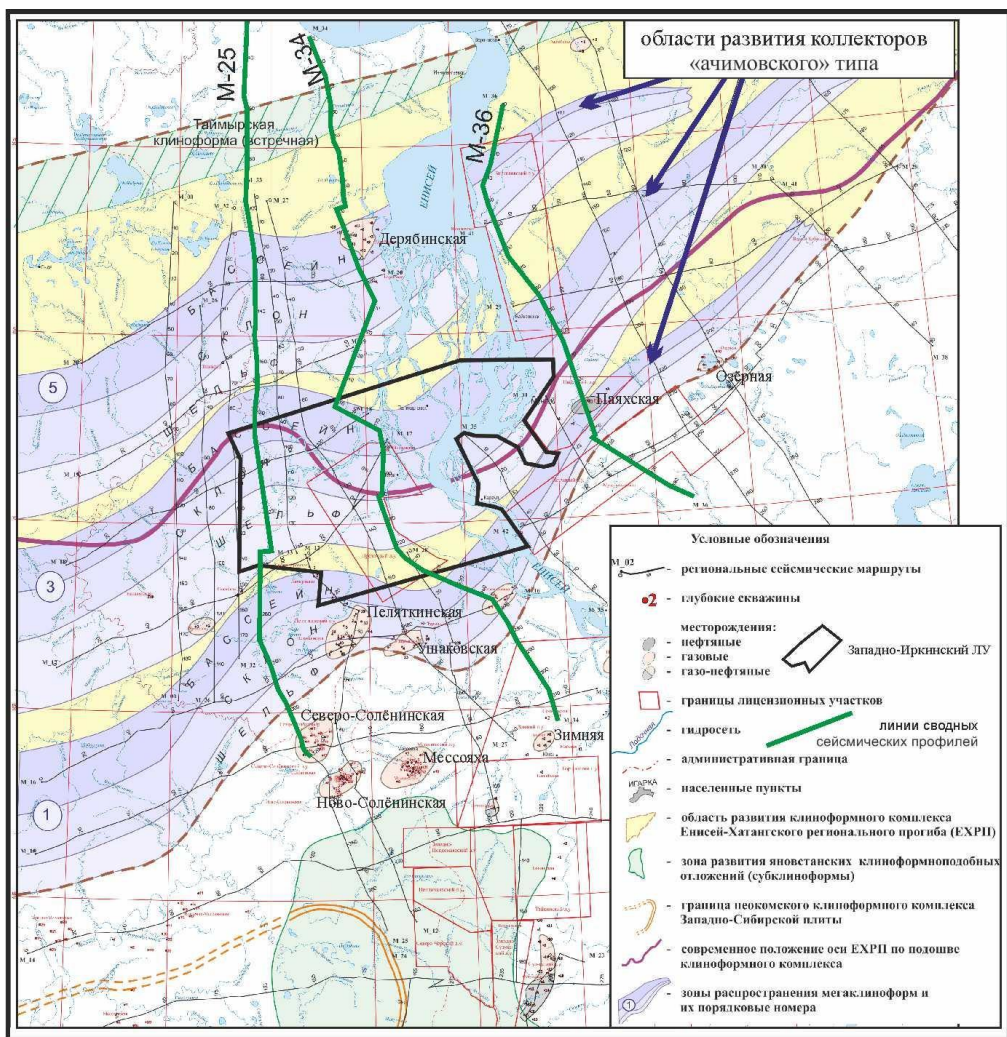


1 – административная граница Таймырского МУ; 2 – участки размыва J₃-K₁; 3 – разломы; границы тектонических элементов: 4 – надпорядковые, 5 – I порядка, 6 – II порядка, 7 – II порядка, 8 – III порядка (локальные поднятия)

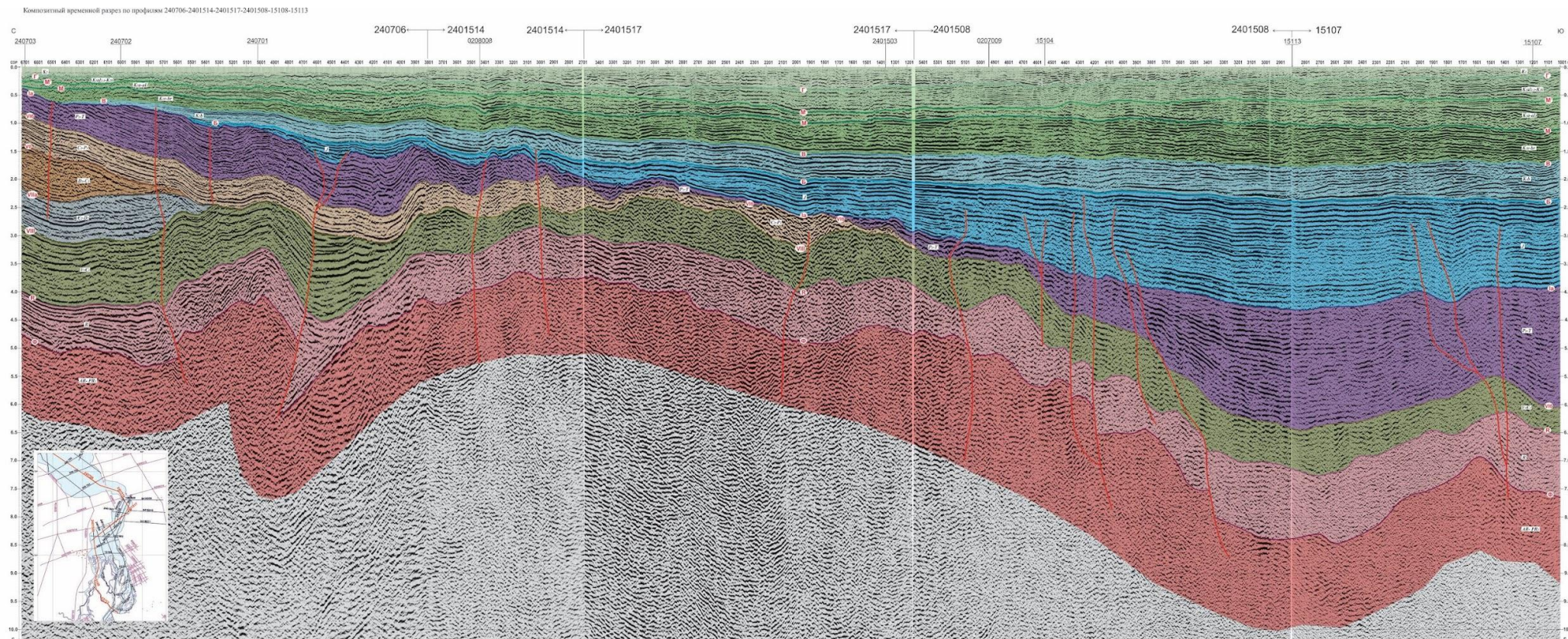


Карта нефтегазоносности западной части Енисей-Хатангского прогиба

Схема распространения клиноформных комплексов раннего мела

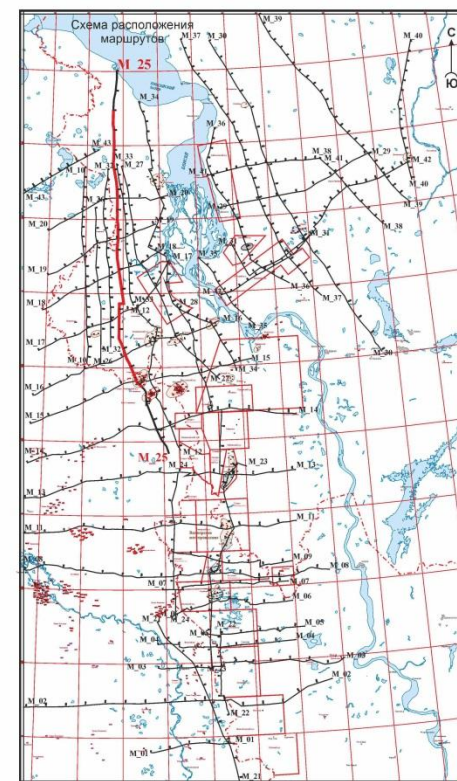
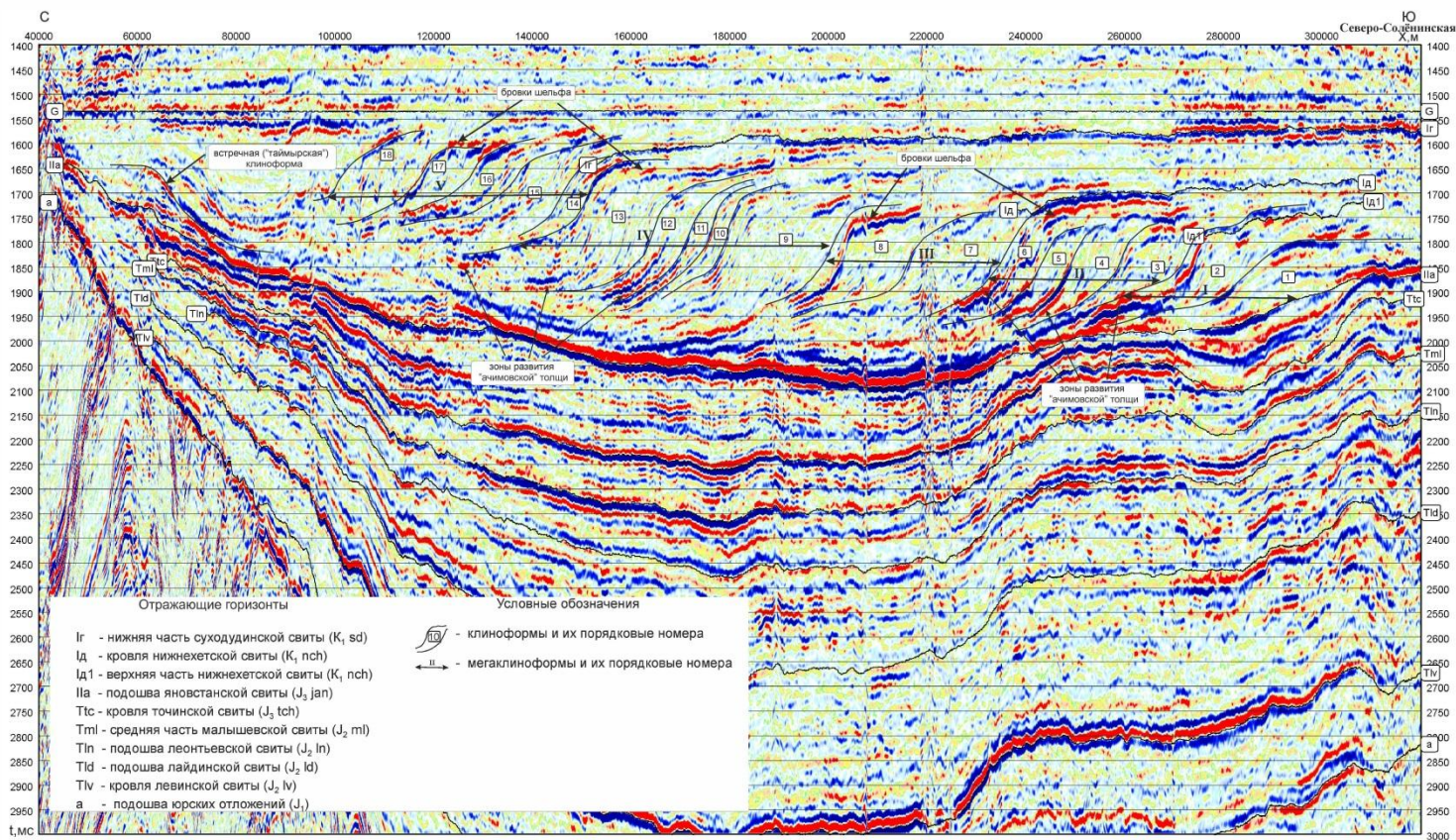


Композитный сейсмический разрез 2-D, выполненный АО «Южморгеология» на р. Енисей

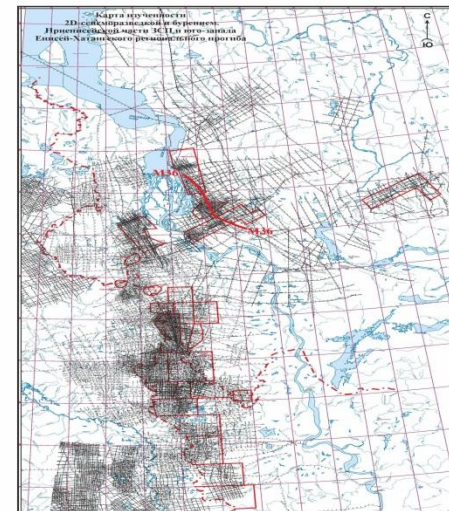
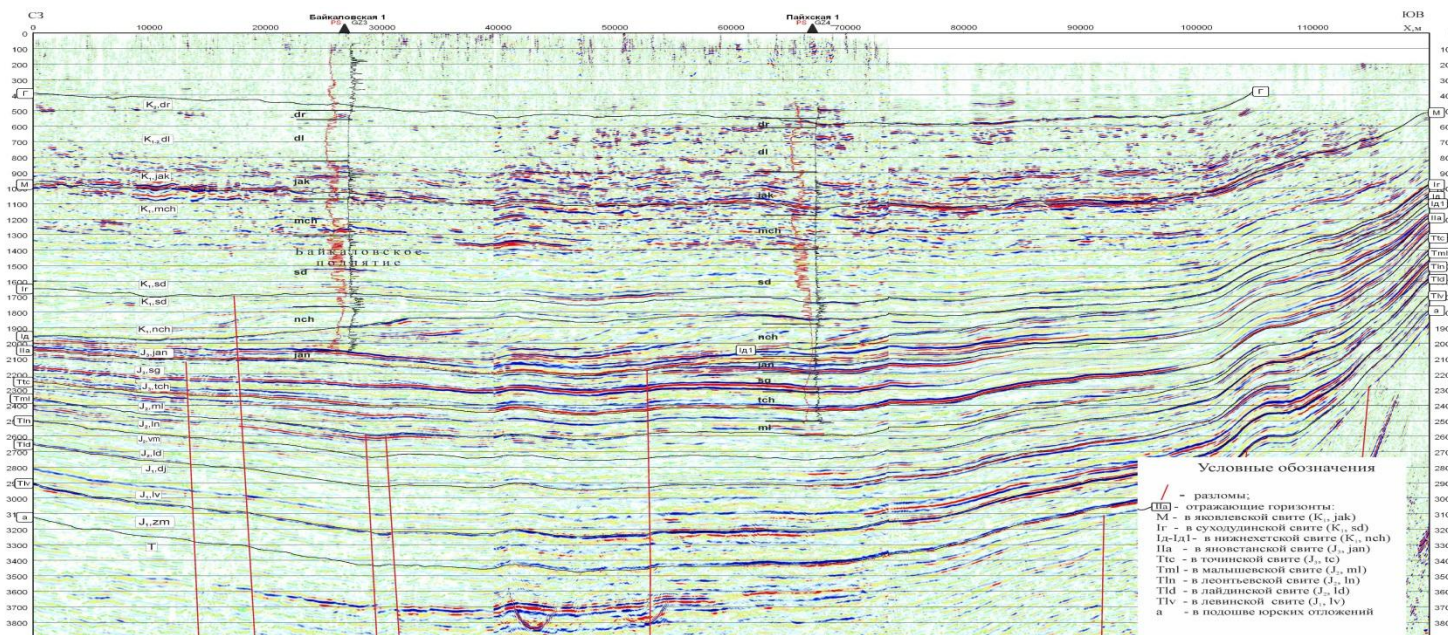


На разрезе хорошо выделяется косослоистая тоща нижнехетской свиты берриасского яруса нижнего мела, являющаяся наиболее перспективной для поисков нефтяных залежей

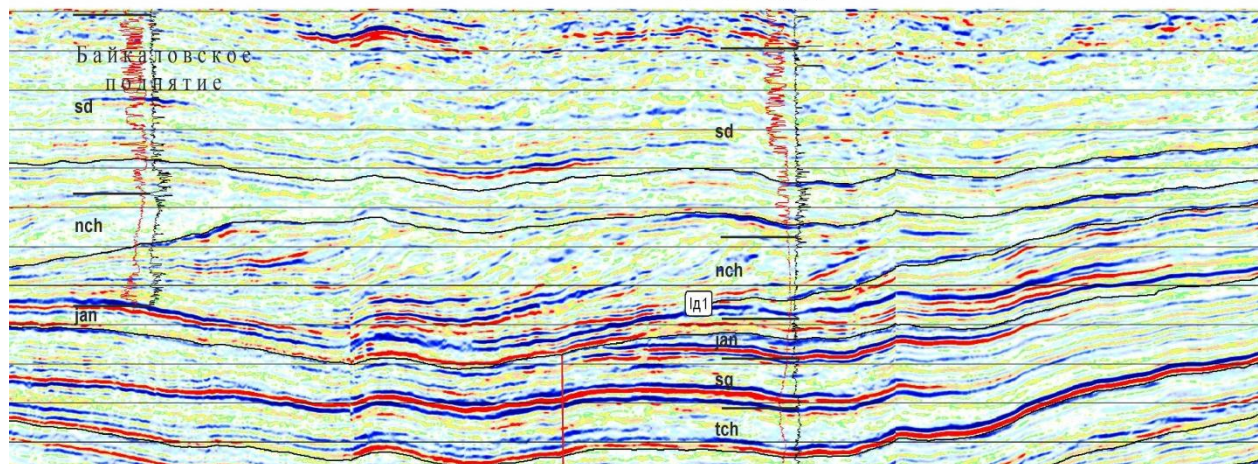
Временной разрез о профилю М-25 (левобережье р.Енисей) (из отчета ФГУП СНИИГиМС, 2009г)



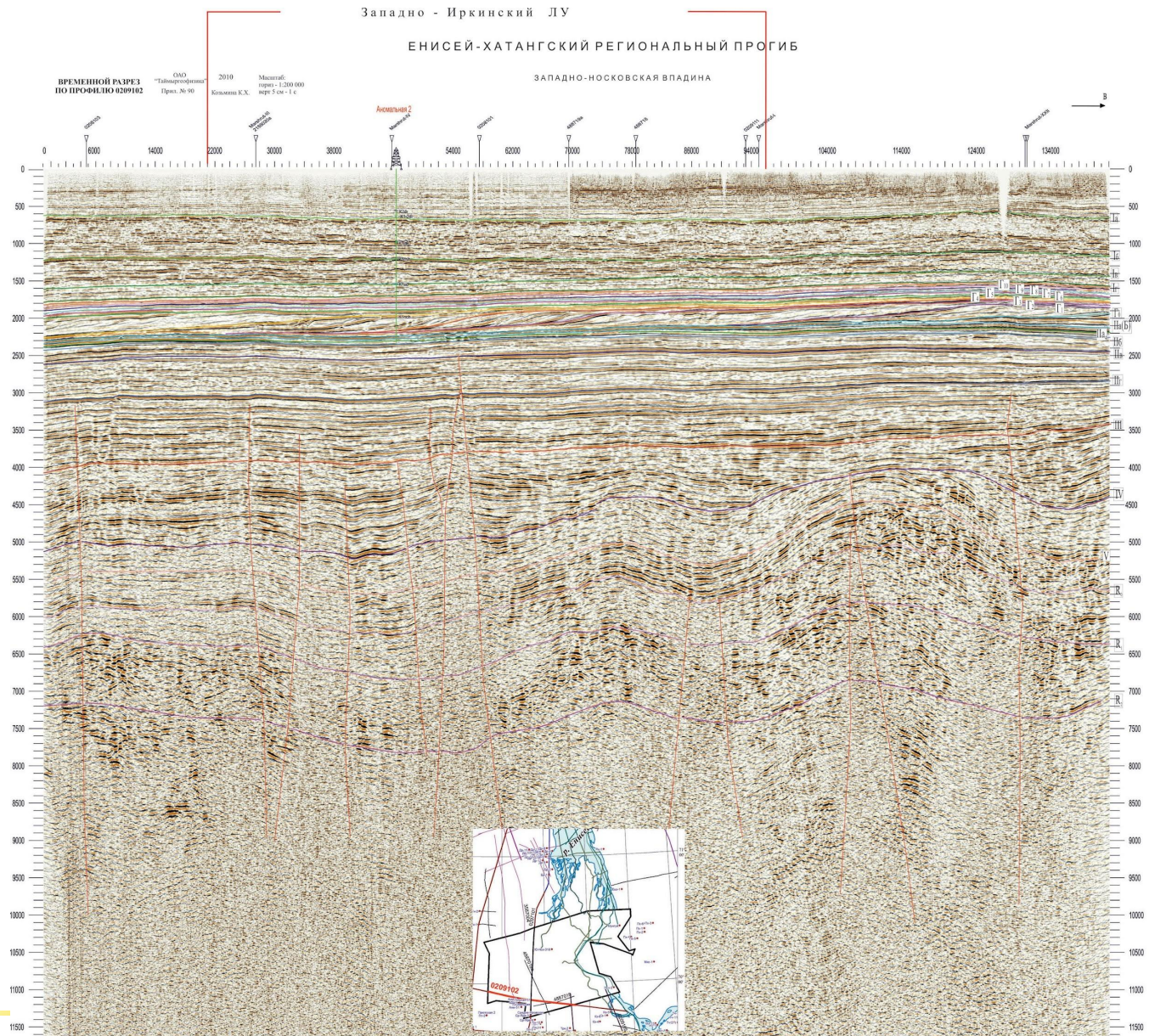
Временной разрез о профилю М-36 (правобережье р.Енисей) (из отчета ФГУП СНИИГиМС, 2009г)

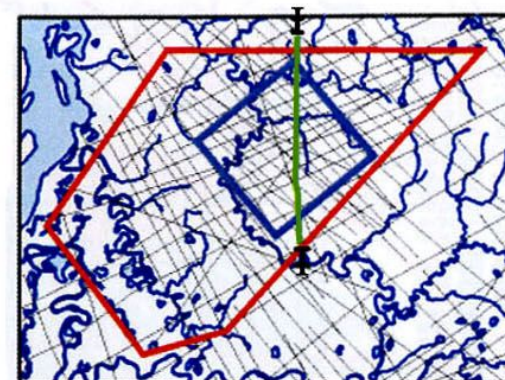
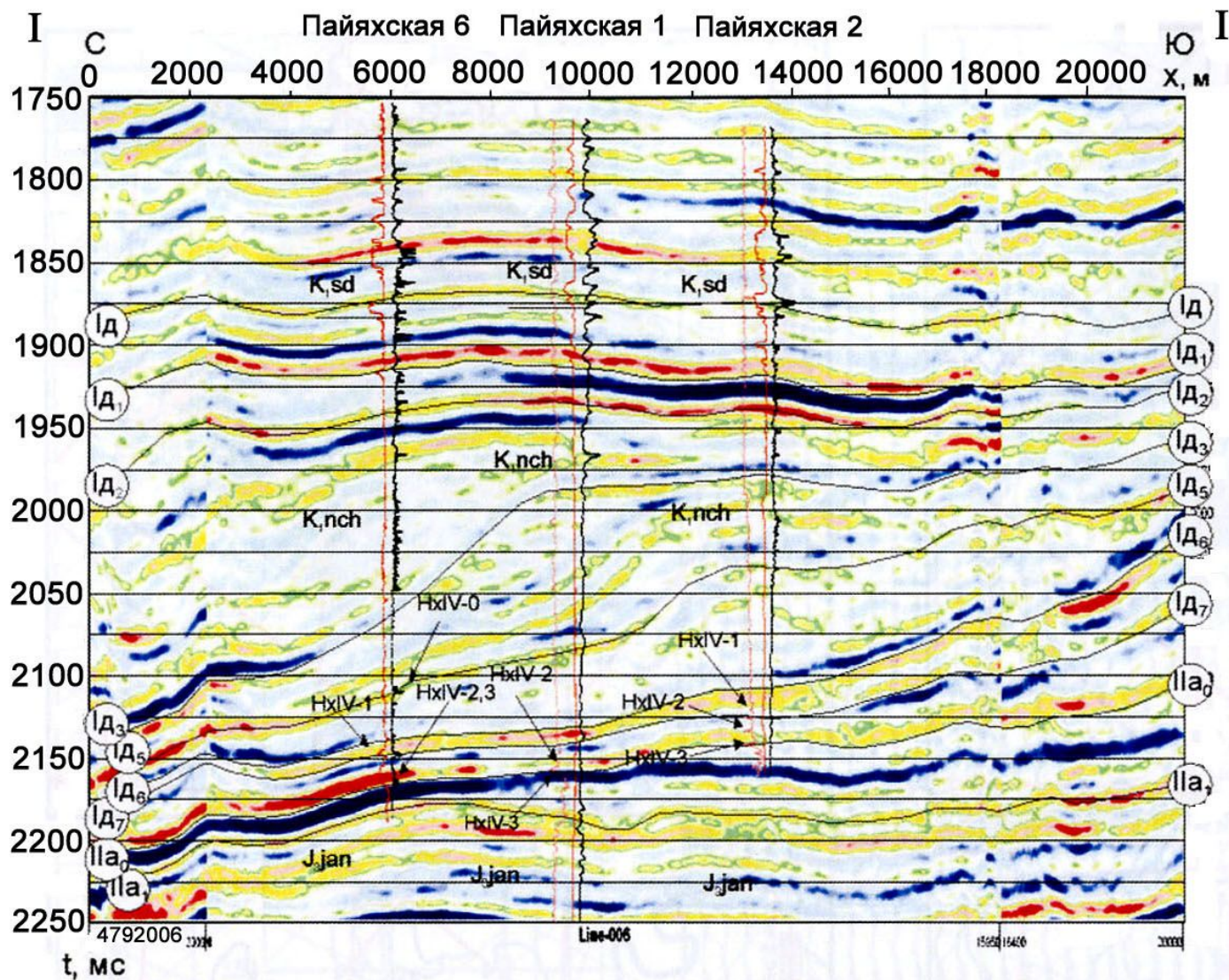


Пайяхская структура



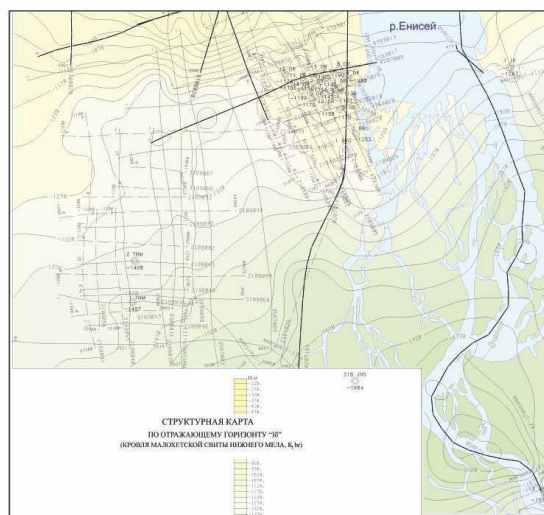
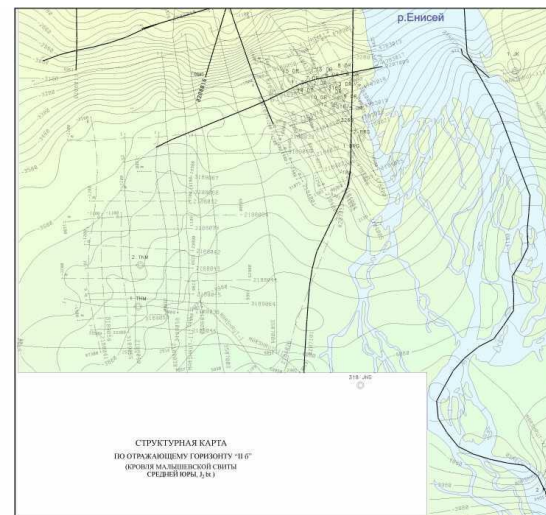
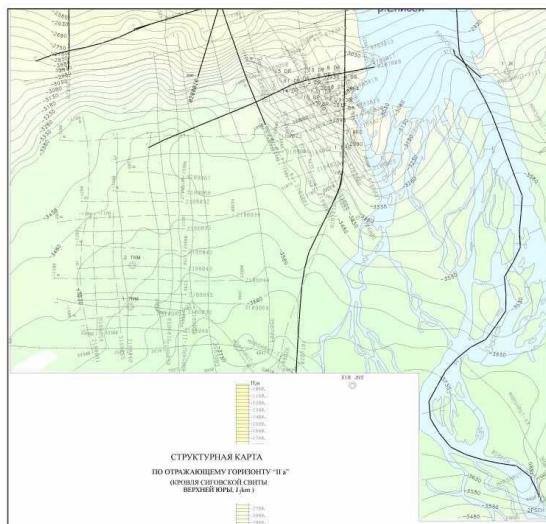
Строение неокомских клиноформ в районе Пайяхского нефтяного месторождения.

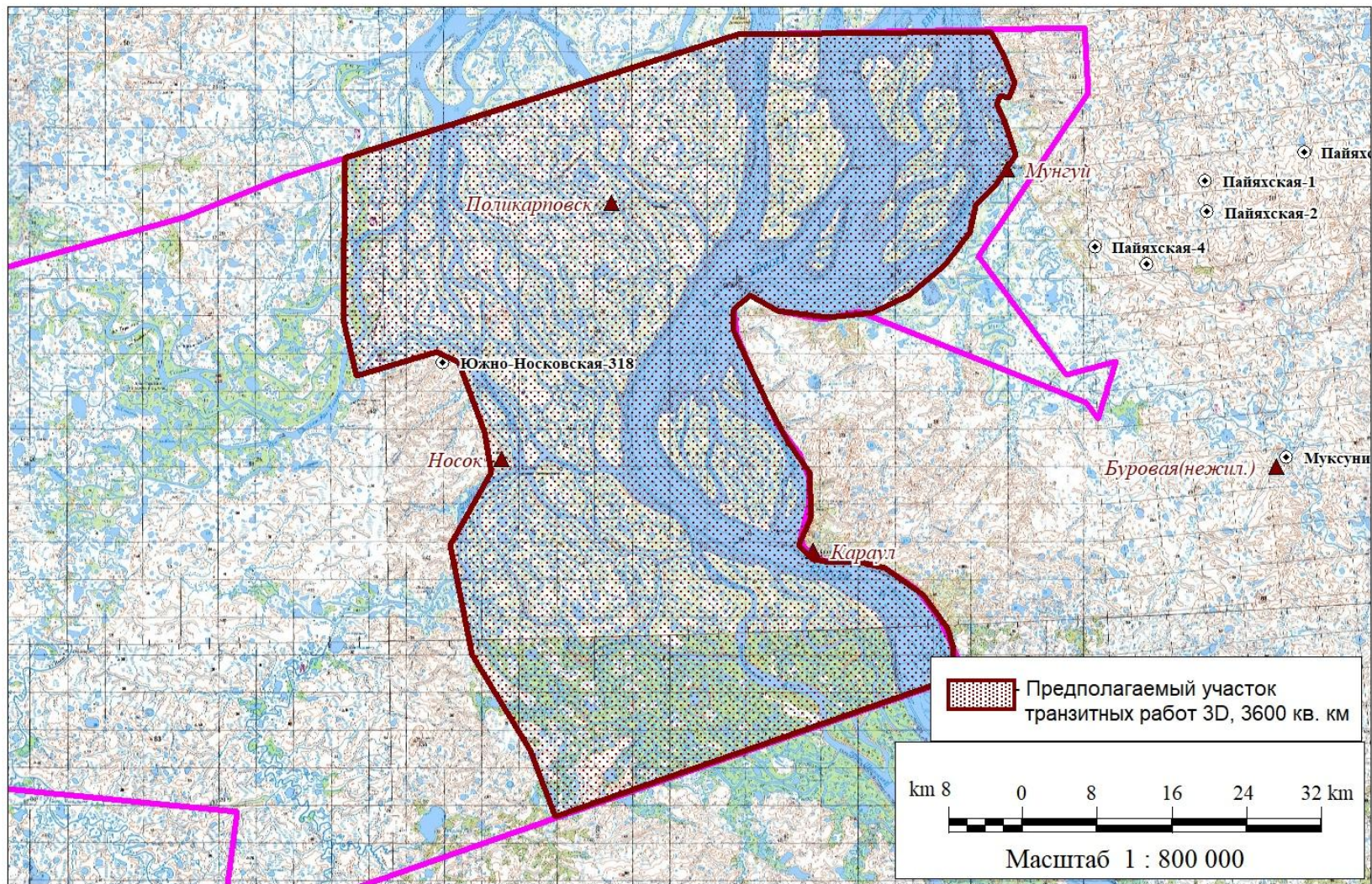




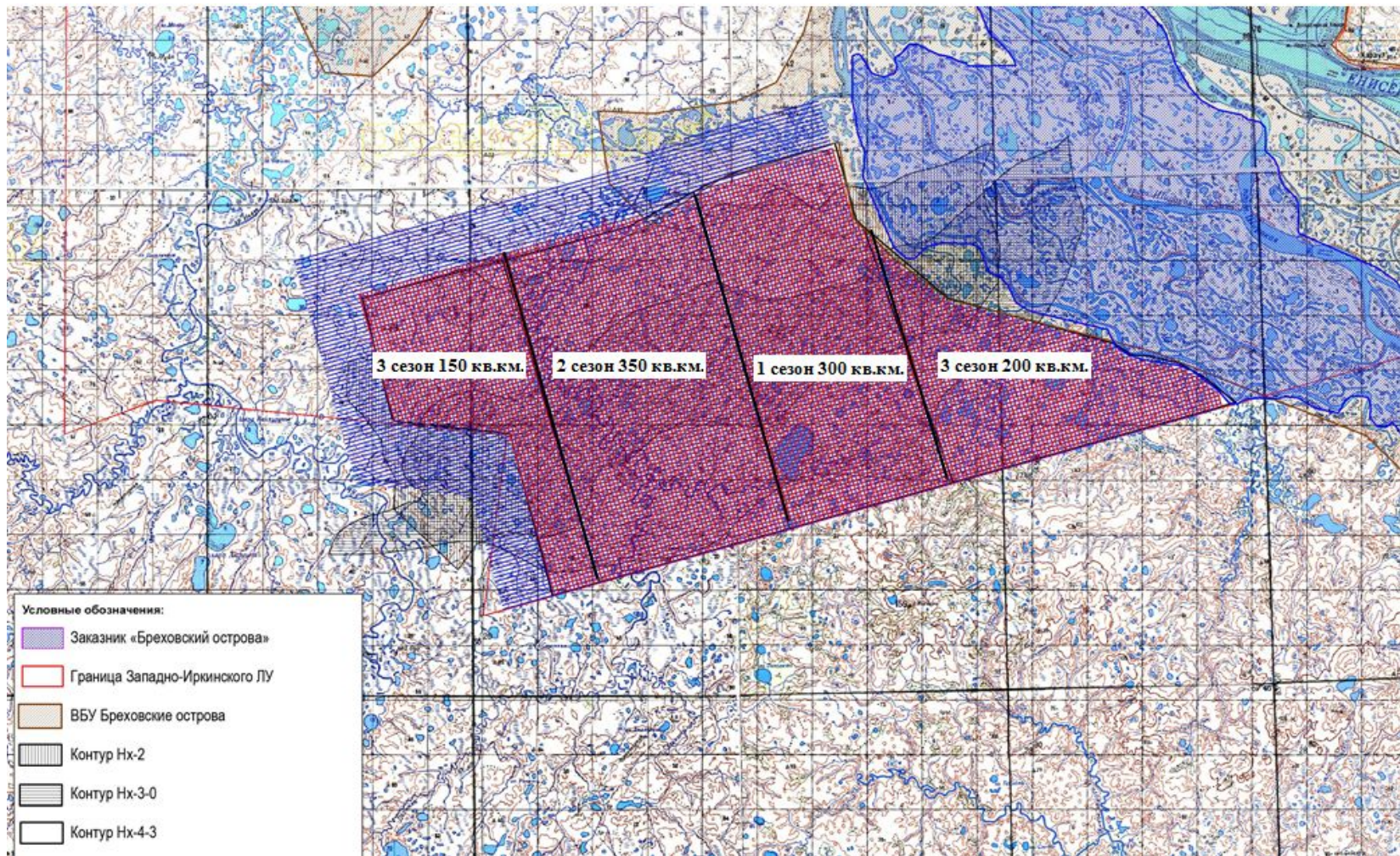
-  контуры Пайяхского лицензионного участка
-  контур работ МОГТ-3D

Фрагменты структурных карт по юрско-меловым комплексам в рамках Западно-Иркийского ЛУ (из отчета ОАО «Таймыргеофизика», 2008г.)





Участок планируемых транзитных сейсморазведочных работ

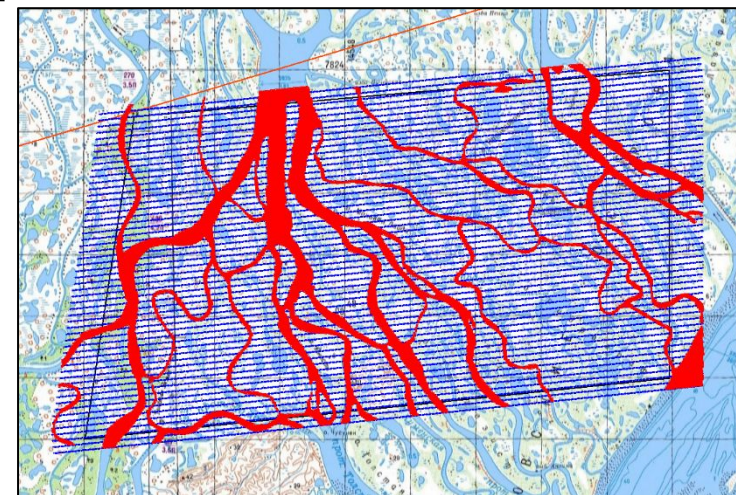


Планируемые к проведению наземные сейсморазведочные работы 3D в 2021-2023 гг

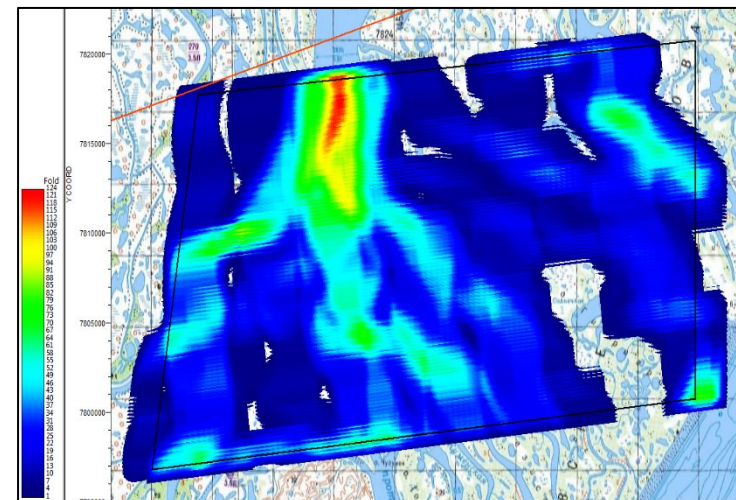
Параметры методики МОГТ 3D с возбуждением сигнала только в акватории

Проектные параметры методики работ

Система расположения взрывных и приемных профилей	перпендикулярная
Система наблюдений	Центрально-симметричная
Направление приемных линий профилей	3-В
Направление взрывных линий профилей	Ю-С
Номинальная кратность (в зоне полнократного накопления)	160
Максимальное удаление «взрыв-прием», м	4275,6
Максимально-минимальное удаление «взрыв-прием», м	375,8
Соотношение полуосей шаблона	0,4
Кратность по направлению линий приема	40
Кратность по направлению линий взрыва	4
Размер бина, м	25 × 25
Количество ЛПП в полосе	8
Интервал между ЛПП, м	400
Количество ПП на ЛПП	160
Количество активных каналов в шаблоне	1280
Шаг ПП на ЛПП, м	50
Количество ЛПВ в шаблоне	1
Интервал между ЛПВ, м	100
Количество ПВ на линии	8
Шаг ПВ на ЛПВ, м	50
Перемещение шаблона вдоль полосы в количестве интервалов между ЛПВ	1
Перемещение шаблона на смежную полосу в количестве интервалов между ЛПП	1



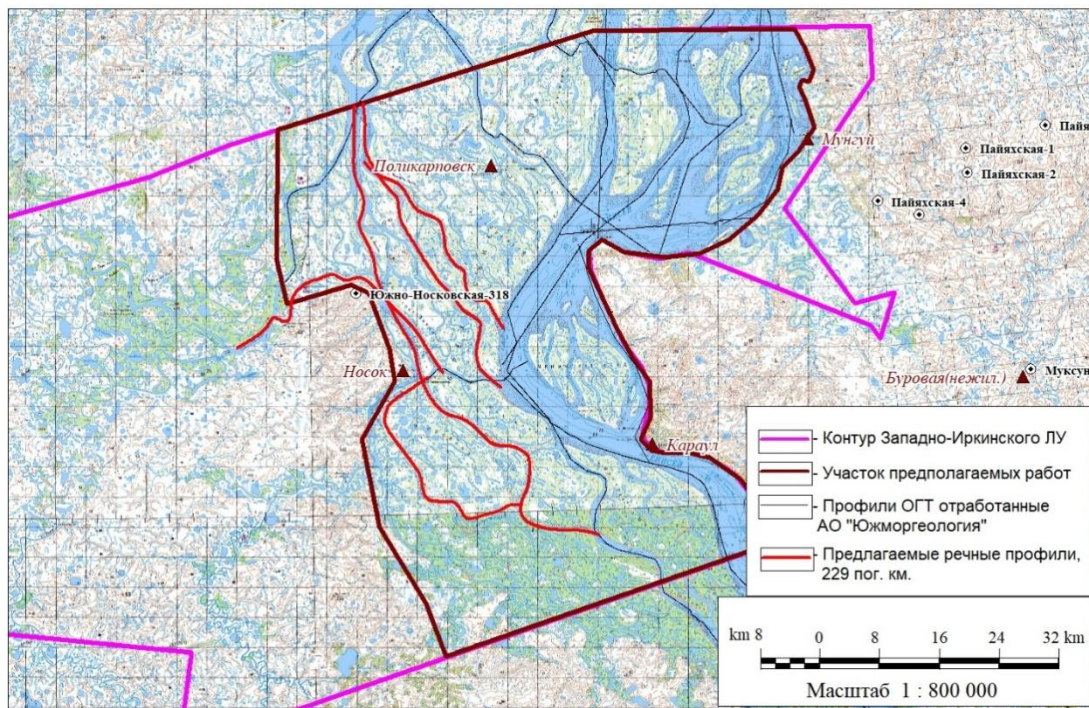
Дизайн съемки



Кратность наблюдений

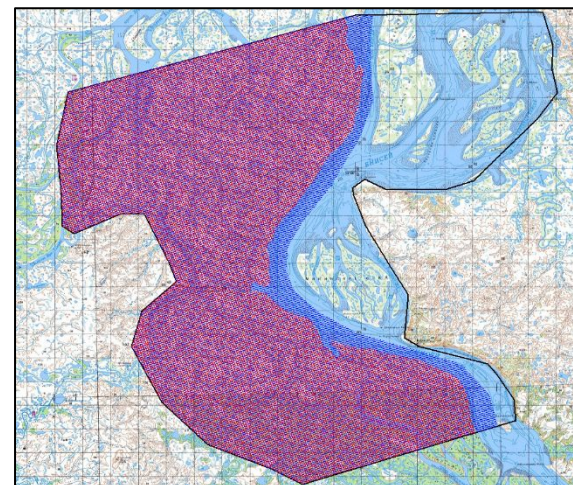
Параметры методики речных сейсморазведочных МОГТ 2D работ

Параметры методики работ	Характеристика параметров
Вид работ	МОВ ОГТ 2D/1C
Основные параметры	
Система наблюдений	Фланговая с выносом за активную расстановку, переходящая в центральную спаренными расстановками
Тип регистрирующих модулей	Донный вариант гидрофон
Тип сейсмоприемников при работе в акватории	
Номинальная кратность (в зоне полнократного накопления)	240
Количество активных каналов для одной расстановки/для спаренных расстановок	120/240
Длина активной расстановки, м / спаренных расстановок	6000/12000
Расстояние между ПП, м	50
Расстояние между ПВ, м	25
Максимальное удаление «взрыв-прием», м	8975
Минимальное удаление «взрыв-прием», м	25
Поперечный вынос линии ПВ от линии ПП, м	25
Положение ПВ	Между ПП и в точке ПП
Тип магнитного носителя	HDD
Формат записи	SEG-Y

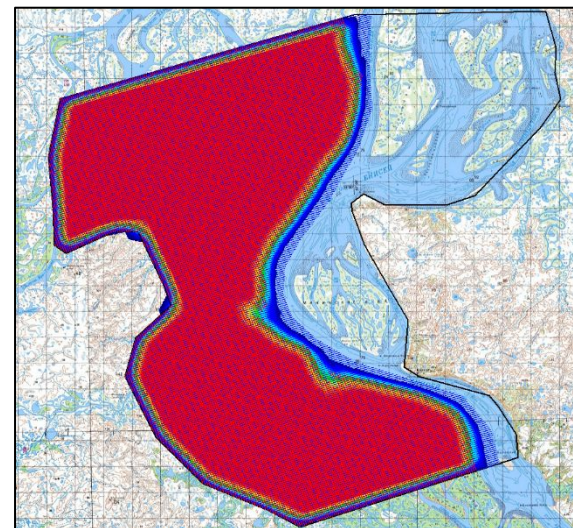


Параметры методики сухопутных сейсморазведочных МОГТ 3D работ

Проектные параметры методики работ	
Система расположения взрывных и приемных профилей	перпендикулярная
Система наблюдений	Центрально-симметричная
Направление приемных линий профилей	3-В
Направление взрывных линий профилей	Ю-С
Номинальная кратность (в зоне полнократного накопления)	169
Максимальное удаление «взрыв-прием», м	5480
Максимально-минимальное удаление «взрыв-прием», м	276
Соотношение полуосей шаблона	1
Кратность по направлению линий приема	13
Кратность по направлению линий взрыва	13
Размер бина, м	25 × 25
Количество ЛПП в полосе	26
Интервал между ЛПП, м	300
Количество ПП на ЛПП	156
Количество активных каналов в шаблоне	4056
Шаг ПП на ЛПП, м	50
Количество ЛПВ в шаблоне	1
Интервал между ЛПВ, м	300
Количество ПВ на линии	6
Шаг ПВ на ЛПВ, м	50
Перемещение шаблона вдоль полосы в количестве интервалов между ЛПВ	1
Перемещение шаблона на смежную полосу в количестве интервалов между ЛПП	1



Дизайн съемки



Кратность наблюдений